

Нам представляется, что, изложенным выше способом, определения осей галактик на Паломарском атласе могут дать обширный материал для детального и полного изучения статистических функций внегалактических туманностей.

Декабрь, 1961.

გარეგნალაკტიკურ ნისლეულთა სტატისტიკური ფუნქციების შესახებ

ପ୍ରକାଶକ ନାମ

(၅၁၆၂)

ალწერილია გარეგალაქტიკურ ნისლეულთა ღერძების პალომარის ატ-ლასის რუკებზე გაზომვის ხერხი. შესწავლილია ექსპოზიციის უკმარობის ეფექტის გავლენა გაზომვათა შედეგებზე; შეფასებულია გაზომვათა ცდომილებები და აგებულია გალაქტიკათა და მათი გულების ღერძების ჰისტოგრამები ვერონიკას თმების თანავარსკვლავედის გალაქტიკათა გროვისათვის. ალწერილია გილაქტიკათა ხილული და ჰეშმარიტი მახასიათებლები, მათი განაწილების სიმკვრივეები და მათ შორის ურთიერთდამოკიდებულება ვარსკვლავთ სტატისტიკის ინტეგრალურ განტოლებათა სახით.

ON THE STATISTICAL FUNCTIONS FOR THE EXTRAGALACTIC NEBULAE

J. Sh. KHAVTASSI

(Summary)

The method of measurement of the axes of extragalactic nebulae on the maps of the Palomar atlas is described. The influence of exposition lack effect on the results of measurements is studied. The errors of measurements are estimated and the histograms of the galactic axes and their nuclei for the Coma Berenices cluster of galaxies are drawn. The apparent and real characteristics of galaxies, distribution densities and their interrelation in the form of integral equations of stellar statistics are described.

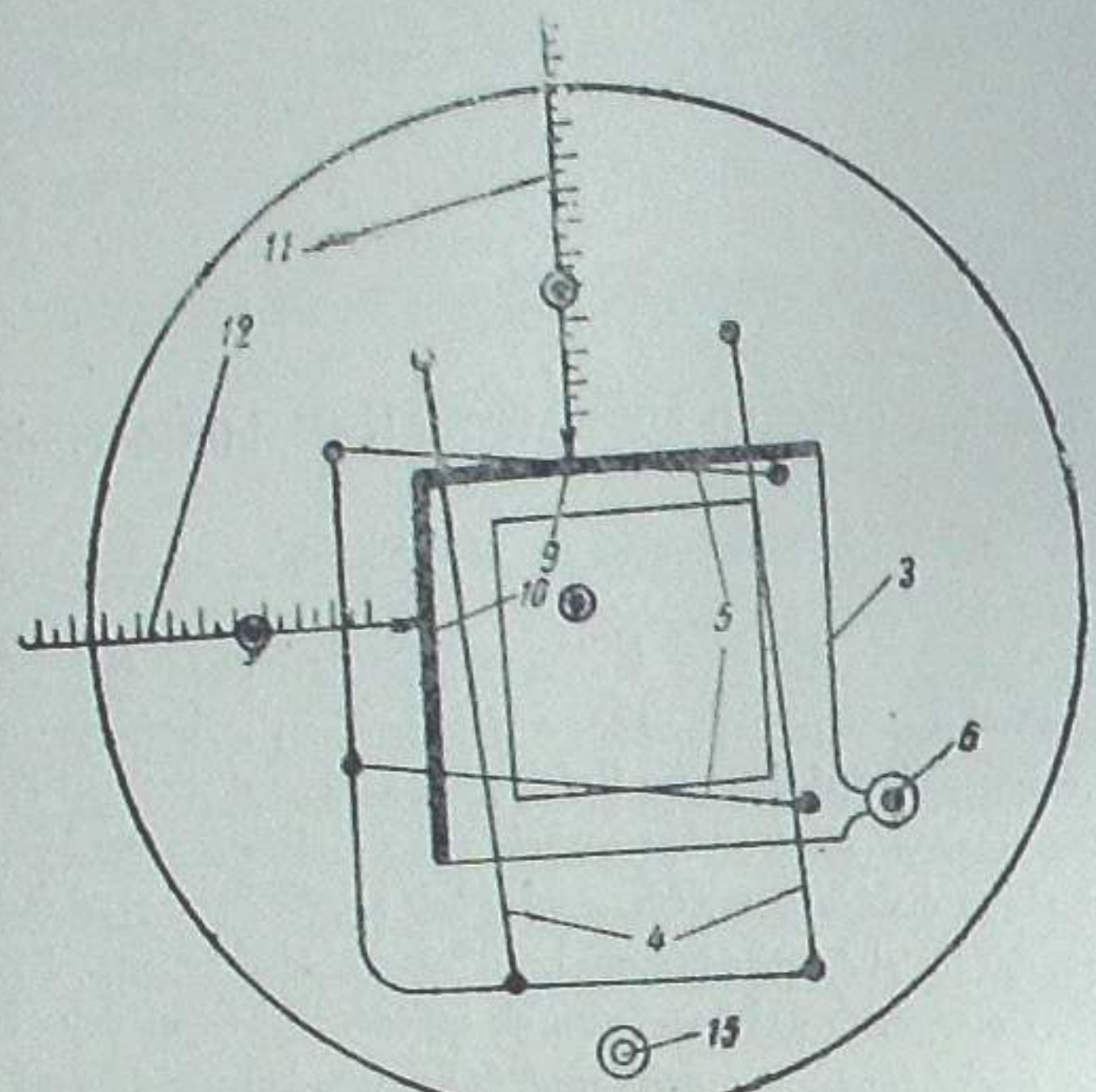
ՃՈՂԱԿԱՐԱՎՈՐ ՏԵՂՄԱՆ ԿԵԼՍԵՑՅՈՒՆ ԿԻՄ-3-ՈՒ ՑԱՅՈՒՑԼՈՅԱ

8. ԿԱԼԵՎԵՐ ՀԱ ՀԱՅՈՒԹՅՈՒՆ

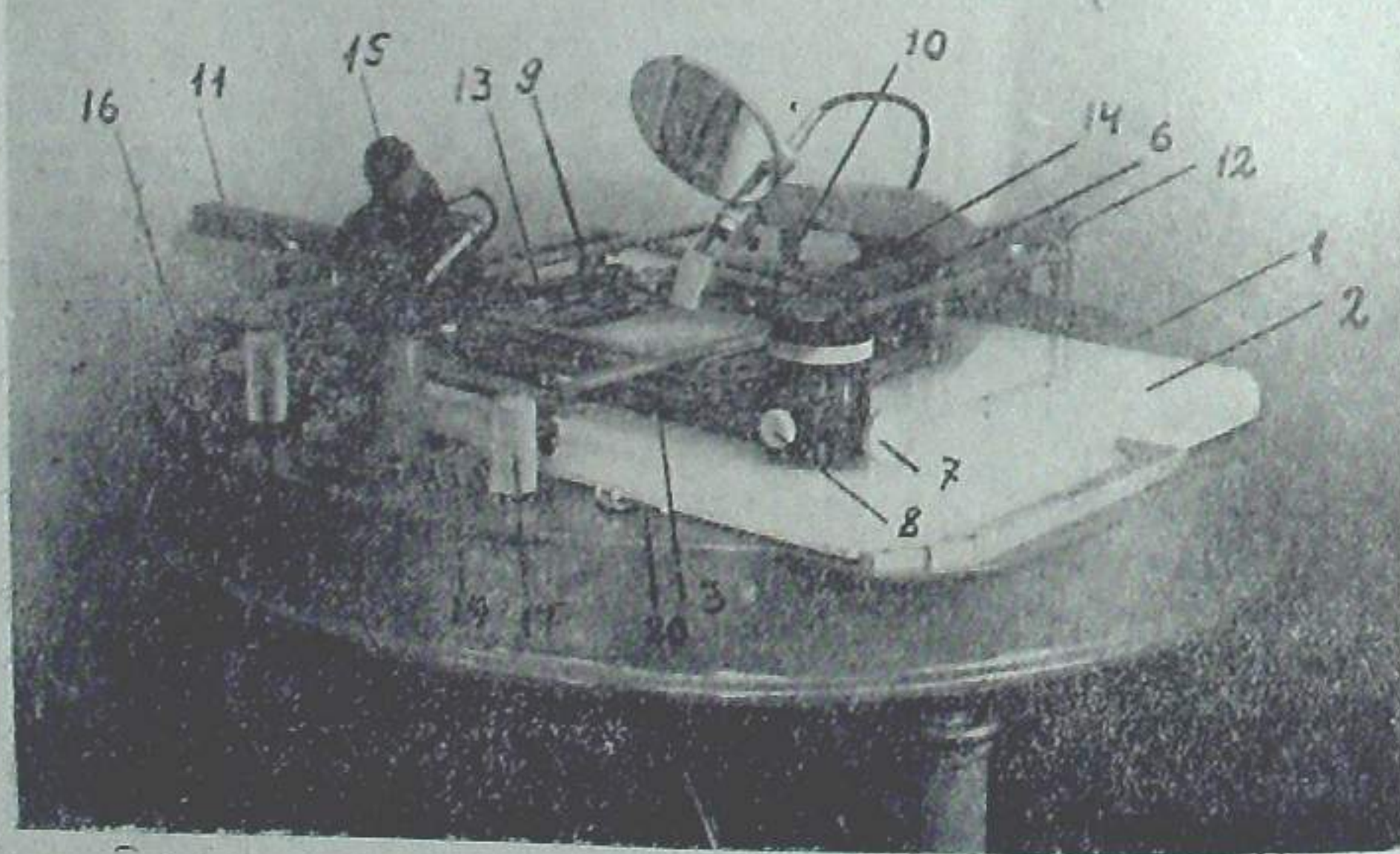
ავტორების მიერ 1962 წლის აპრილ-სექტემბერში შესრულებულ იქნა-
აბასთუმნის ასტროფიზიკურ ობსერვატორიაში არსებული ზემოხსენებული სის-
ტემის საზომი ხელსაწყოს (КИМ-3 № 550001) ყოველმხრივი გამოკვლევა.
ხელსაწყოს მოკლე აღწერის, გამოკვლევის მეთოდიებისა და მისი შედეგების
გადმოცემა შეადგინს წინამდებარე წერილის მიზანს.

§ 2. ხელსაწყოს აღწერა. ხელსაწყოს ზოგადი სქემა მოცემულია.
1. ნახაზზე, საერთო ხედი კი—I ფოტოზე.

ურიკაზე ხისტად არის დამაგრებული საგულდაგულოდ დამუშავებული ორი ურთიერთპენდიკულარული მიმმართველი შიმშა 9, 10, რომლებსაც ებჯინე-ურთიერთპენდიკულარული მიმმართველი შიმშა 9, 10, რომლებსაც ებჯინე-



ნახ. 1

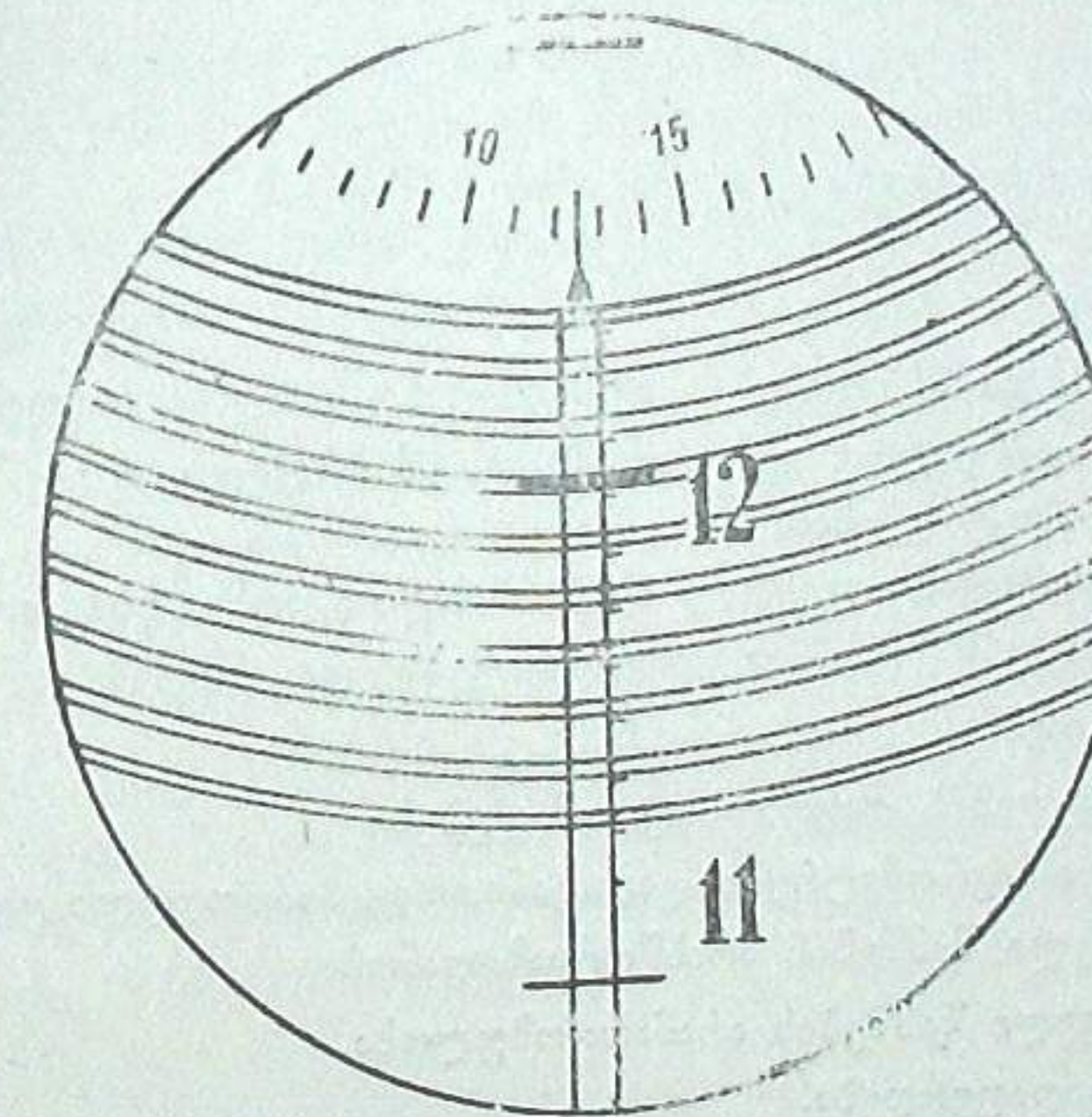


ფოტო 1

სას, მციცების 13 და 14 დახმარებით სრიალებენ მიმმართველი შიმშების გასწერივ ამ დროს სკალები კოორდინატთა სათანადო ღერძების პარალელურად დადაადგილდება.

ხელსაწყოს ოპტიკური სქემა შედგება სამი სისტემისაგან: ერთი — ასტრონომიული გასახომ გაძოსახულებაზე დასაყენებელი და ორიც — შესაბამის სკალების ასათვლელი. ყველა ისინი განლაგებულია ფუძის 1 კორპუსის შიგნით. გარეთ გამოყვანილია მხოლოდ ერთი საერთო ოკულარი 15, რომელშიც თავს იყრის ყველა სისტემის გამოსასვლელი ხვრელი. ტუმბლერების 16 საშუალებით რიგრიგობით ჩაირთვება სათანადო სანათი, რის შედეგადაც ოკულარში გამოჩეულია ან ერთ-ერთი სკალა მისი ასათვლელი სპირალური მიკრომეტრითურთ ან საზომი ბადე და ასტრონომიული ნაწილი.

ოკულარის ახლოს განლაგებულია სახელურები, რომლებიც განკუთვნილია მიკრომეტრების საბრუნებლად 17 და 18, ასტრონომიული დასათვოკუსებლად 19, რევერსიული პრიზმის მოსაბრუნებლად 20 და ოკულარის გამადიდებლობის შესაცვლელად 21.



ნახ. 2

სკალის ერთმილიმეტრიანი ინტერვალის ნაწილების გასახომად ხელსაწყი აღჭურვილია ე. წ. სპირალური მიკრომეტრებით, რომლებიც განლაგებულია შესაბამისი სკალების ქვეშ ფუძის კორპუსის შიგნით. სპირალური მიკრომეტრის მოქმედების პრინციპი შემდეგში მდგომარეობს (ნახ. 2).

მინის მრგვალ მბრუნავ ფირფიტაზე დატანილი სკალა წარმოადგენს 100 ტოლ ნაწილად დაყოფილ წრესა და ათი ორმაგი ხეისაგან შემდგარ არქიმედის სეულ სპირალს პოლუსით მავე წრის ცენტრში. მიკროსკოპების გამადიდებლობანი ისეა შერჩეული, რომ ათი ორმაგი ხვია ზუსტად თავსდება სკალის 1 მმ ინ-

ტერვალში, როდესაც ეს უკანასკნელი საზომი მიკროსკოპის ობიექტივის მეშვი-
რძით გეგმილდება სკალიანი მინის სიბრტყეში.

ამგვარად სპირალის ბიჭი შეესაბამება $0,1\text{mm}$ -ს, ხოლო მისი შემობრუნება,
წრიული სკალის ერთი დანაყოფით— $0,001 \pm 0,4$.

მას შემდეგ ჩატა გასაზომი ობიექტი მოყვანილია საზომი ბადის რომელიმე
კვადრატის ფრენტში, ანათვალის ასაღებად სახელურს (17 ან 18, იმის მიხედ-
ვით თუ რომელი სკალის ანათვალს იღებენ) აბრუნებენ იქამდე, ვიდრე სკალის
შტრიხი, რომელიც ხვიებს შორის მოჩანს, ჩაღვება ერთ-ერთი წყვილი ხვიის
შტრიხი, რომელიც ხვიებს შორის მოჩანს, ჩაღვება ერთ-ერთი წყვილი ხვიის
შუაში მე-2 ნახაზზე. ამის შემდეგ ხდება ათვლა: შტრიხის ნომერი წარმოადგენს
შუაში მილიმეტრებს, მეათედ მილიმეტრებს გვიჩვენებს სპირალის ხვიების რა-
მთელ მილიმეტრებს, მეათედ მილიმეტრებს გვიჩვენებს სპირალის ხვიების რა-
მთელ მილიმეტრებით დახაზული სწორი სკალა. მეასედებსა და მეათასე-
დიალური მიმართულებით დახაზული სწორი სკალა. შესაძლებელია აგრეთვე მიკრონის მეათედების
დებულების წრიული სკალა. შესაძლებელია აგრეთვე მიკრონის მეათედების
შეფასება თვალით. ნახაზზე მოცუმული ანათვალი იქნება $12,2725$.

ცალკეულ ობიექტებს შორის კუთხების გასაზომად კიმ-3 აღჭურვილია
მბრუნავი მაგიდით, რომელიც ურიკაზე მაგრდება ასტრონეგატივის მსგავსად.
მობრუნების კუთხის გაზომვა შესაძლებელია $\pm 5'$ სიზუსტით ორი, ურთიერთ
დიამეტრულად განლაგებული ნონიუსის მეშვეობით.

გარდა მბრუნავი მაგიდისა ხელსაწყოს თან ერთვის სხვადასხვა ზომის ფირ-
ფიტების შესაბამისი რამდენიმე ჩარჩო. ფირფიტის მაქსიმალური ზომა, რო-
მელიც შეიძლება მოთავსდეს ურიკაში, არის 30×30 სმ.

ს 3. ხ ე ლ ს ა წ ყ ი ს გ ა მ თ კ ვ ლ ე ვ ა . კ ი მ - 3 - ი ს და მისი მსგავსი
ხელსაწყოებისათვის დამახასიათებელი ცდომილებების თეორია დაწვრილებით
გაღმოცემულია [1] და [2] შრომებში. აქ მოვიყვანთ მხოლოდ საბოლოო ფორმუ-
ლებს, რომლებიც უშუალოდ გამოიყენება და იმ პრაქტიკულ გზებს, რომლებ-
საც მიღმართეთ გამოკვლევისას.

წინასწარ ჩამოვთვალოთ ყველა ის ძირითადი ცდომილება, რომლებიც არ-
სებით გავლენას ახდენს გაზომილ კოორდინატებზე და, ამიტომ, აუცილებელ გა-
მოკვლევას საჭიროებს:

- ა) საზომი სკალების დაყოფის ცდომილებები,
- ბ) სპირალური მიკრომეტრების გადატანითი და პერიოდული ცდომილებები,
- გ) მიმმართველი შიმშების არასწორხაზოვანობა,
- დ) მიმმართველი შიმშების არამართობულობა,
- ე) ურიკის გადაფერდება,
- ვ) ე. წ. რენი მთელი სკალის გასწვრივ,
- ზ) საზომი ბადის კვადრატთა ცენტრების არათანამთხვევა.

აქვე შევნიშნავთ, რომ ყველა კვანძის გამოკვლევა შესრულდა ამ წერილის
ორივე ავტორის მიერ ურთიერთისაგან დამოუკიდებლად, ე. ი. როგორც ამბო-
ბენ, „ორი ხელით“. საბოლოო შედეგები გამოყვანილია მონაცემების საშუა-
ლოებით. გამოკვლევა წარმოებდა თითქმის მუდმივ ტემპერატურის ქვეშ
($t=17^{\circ}5 \pm 0^{\circ},5$).

ა) სკალების დაყოფის ცდომილებები. სკალების დაყო-
ფის ცდომილებების გამოსაკვლევად შევჩერდით მეთოდზე, რომელიც გამოყე-
ნებული იყო პულკოვოს ობსერვატორიაში ამავე სისტემის ხელსაწყოების გა-

მოსაკვლევად [3]. ეს მეთოდი უნდა ჩაითვალოს ყვილაზე რაციონალურად ისეთი
გრძელი სკალების გამოსაკვლევად, როგორებითაც აღჭურვილია კიმ-3 (თი-
თოეული მათგანის სიგრძე 240 მმ-ია) და მისი მსგავსი საზომი ხელსაწყოები.

ყოველ სკალაზე გამოკვლეული იყო შტრიხები 8-დან 232-ის ჩათვლით.

პირველ ეტაპზე განისაზღვრება X—სკალის შუა (120) შტრიხის შესწო-
რება Δ_{120} , (შესწორებებს იღვნიშნავთ Δ -თი სათანადო ნიშნავით), იმ პირო-
ბით, რომ განაპირობების შესწორებები ნულის ტოლია, ე. ი.

$$\Delta_8 = \Delta_{232} = 0. \quad (1)$$

ამისათვის საჭიროა, რომ დამხმარე მონაცევით, რომლის სიგრძე ს გამო-
საკვლევი უბნის სიგრძის დაახლოებით ნახევრის ტოლია, გაიზომოს ამ უქა-
ნასკნელის ორი სხვადასხვა ნაწილით. თუ ანათვლებს, დამხმარე მონაცევითის
სკალის ერთი ნაწილით გაზომვისას, აღვნიშნავთ X_8 -თა და X'_{120} -ით, ხოლო
მეორე ნაწილით გაზომვისას X''_{120} -ითაც და X_{232} -ით, მაშინ (1)—პირობის
გათვალისწინებით გვექნება ტოლობები:

$$\Delta_{120} = \frac{1}{2} (X_8 + X_{232}) - \frac{1}{2} (X'_{120} + X''_{120}), \quad (2)$$

$$l_0 = \frac{1}{2} (X_{232} - X_8) - \frac{1}{2} (X'_{120} - X''_{120}). \quad (3)$$

(2)-პირობები განსაზღვრავენ X-სკალის წულბუნქტსა და მასშტაბს. ამის
გამო გამოკვლევის შედეგად მიიღება ზუსტი სკალი, დაყოფილი 8—232
შტრიხების შორის ინტერვალის $1:224$ ტოლი ბიჯით.

სასურველია, რომ მეორე Y-სკალისათვის შენარჩუნებული იქნეს იგივე
მასშტაბი. ამის მისაღწევად; Y-სკალისათვის დაწერილი ტოლობები უნდა
დავუმორჩილოთ შემდეგ პირობებს:

$$\left. \begin{aligned} \Delta_{120} &= 0, \\ l_0 &= \text{მოცუმულია (3) ტოლობით} \end{aligned} \right\} \quad (4)$$

(5)-პირობები Y-სკალის ანიჭებს დამოუკიდებელ წულ-პუნქტს, მაგრამ
მას თავს ახვევს X-სკალისათვის აღებულ მასშტაბს. მაშინ Y-სკალის განა-
პირა შტრიხების შესწორებებისათვის გვექნება ტოლობები:

$$\left. \begin{aligned} \Delta_8 &= (Y'_{120} - Y_8) - l_0, \\ \Delta_{232} &= l_0 - (Y_{232} - Y''_{120}). \end{aligned} \right\} \quad (5)$$

გამოკვლევის შემდგომ ეტაპზე თრივე სკალისათვის გამოთვლები ერთიმეორის
ანალოგიურია.

მეორე ეტაპზე განისაზღვრება ორი საყრდენი შტრიხის ცდომილება. ესენია
8—120 და 120—232 ინტერვალთა შუა შტრიხები (64, 176).

მესამე ეტაპზე განსაზღვრული საყრდენი შტრიხების ნომრები იქნება 36, 92,
148, 204, რომლებიც წარმოადგენენ 8—64, 64—120, 120—176, 176—232 ინ-
ტერვალთა შუა შტრიხებს.

მეორე საფეხურის შტრიხები (22, 50, 78, 106, 134, 162, 190, 218) მდე-
ბარეობენ. წინა სამი ეტაპის საყრდენი შტრიხების შუაში.

ამგვარად, 224 მმ სიგრძის გამოსაკვლევი სკალა იყოფა 16 ტოლ ნაწილად,
რომლებისთვისაც ცნობილია განაპირობების შესწორებები. ეს უკანასკ-

რომლებისთვის განაპირობების შესწორებების განისაზღვრებიან შემდეგი ზოგადი ფორმულით:
ნელნი ყოველი ეტაპისათვის განისაზღვრებიან შემდეგი ზოგადი ფორმულით:

$$\Delta_i = \frac{1}{2}(X_{i+224/2j} + X_{i-224/2j}) - \frac{1}{2}(X'_i + X''_i) + \frac{1}{2}(\Delta_{i+224/2j} + \Delta_{i-224/2j}), \quad (6)$$

სადაც $j=1, 2, 4, 8$ შესაბამის ეტაპებზე. (6)-ფორმულა გამოსადევია ორივე სკალისათვის სათანადო (1) და (4) პირობების გათვალისწინებით.

დამხმარე მონაკვეთებად გამოყენეთ მიკროფორმეტრ Mf-6-ის ერთ-ერთი საზომი სკალის შესაბამისი ინტერვალები. გაზომვებისათვის ურიკაზე და-ბაკრებული იქნა 30×30 სმ ზომის მინა, მასზე დაწებებული მინისავე მიმმართველი შიმშითურთ. ამ უკანასკნელის გასწვრივ დამხმარე სკალის გადაადგილება ხდებოდა ხელით.

პირველი ეტაპის შტრიხებისათვის ორივე ავტორის მიერ ერთად შესწორებები განსაზღვრული იქნა 40-ჯერ (n_1), მეორისათვის — 24-ჯერ (n_2), მესამისათვის — 16-ჯერ (n_3), მეოთხისათვის — 12-ჯერ (n_4). ი-ური საყრდენი შტრიხის შესწორების ერთი განსაზღვრის გამოსათვლელ ფორმულას, მიღებულს (6)-ის საშუალებით, შემდეგი სახი აქვს:

$$\varepsilon_i^2 = \varepsilon_0^2 + \frac{1}{4}(\varepsilon_{i+224/2j}^2 + \varepsilon_{i-224/2j}^2) \quad (7)$$

სადაც ε_0 არის ერთი გაზომვის საშუალო კვადრატული ცდომილება, რომელიც ჩვენს შემთხვევაში ტოლია $\pm 0.22 \mu$. იმ საყრდენ შტრიხთა ცდომილებები, რომლებიც (1) და (4) ტოლობებით განისაზღვრება, უნდა მიღებული იქნას ნულის ტოლად.

ამგვარად, საყრდენი შტრიხების შესწორებათა საბოლოო განსაზღვრის საშუალო კვადრატული ცდომილების ეტაპების მიხედვით, გამოსათვლელად გვაქენება ტოლობები:

$$\begin{aligned} \varepsilon_{(1)}^2 &= \frac{\varepsilon_0^2}{n_1}, \\ \varepsilon_{(2)}^2 &= \frac{\varepsilon_0^2}{n_2} + \frac{1}{4}\varepsilon_1^2, \\ \varepsilon_{(3)}^2 &= \frac{\varepsilon_0^2}{n_3} + \frac{1}{4}(\varepsilon_{(1)}^2 + \varepsilon_{(2)}^2), \\ \varepsilon_{(4)}^2 &= \frac{\varepsilon_0^2}{n_4} + \frac{1}{4}(\varepsilon_{(2)}^2 + \varepsilon_{(3)}^2). \end{aligned} \quad (8)$$

n_1, n_2, n_3, n_4 -ის ზემოთ ჩამოთვლილი მნიშვნელობების ჩასმის შემდეგ მივიღებთ:

$$\begin{aligned} \varepsilon_{(1)} &= 0.025 \varepsilon_0^2 \\ \varepsilon_{(2)} &= 0.048 \varepsilon_0^2 \\ \varepsilon_{(3)} &= 0.080 \varepsilon_0^2 \\ \varepsilon_{(4)} &= 0.116 \varepsilon_0^2 \end{aligned}$$

როგორც უკანასკნელი ტოლობებიდან ჩანს, ეტაპიდან ეტაპზე გადასვლისას, ცდომილებები იზრდება საკმაოდ სწრაფად. მთელი სკალის გამოკვლევა ამ მეთოდით რომ გაგრძელებულიყო, უკანასკნელ ეტაპზე მივიღებდით $\varepsilon_{max} \approx 10\varepsilon_0^2$. რაც დაუშვებლად დიდი იქნებოდა.

ამიტომ საყრდენ შტრიხებს შორის დარჩენილი შტრიხების გამოსაკვლევად გამოვიყენეთ რიდბერგის მეთოდი [4]. ყველა 16 ინტერვალი თითოეულ სკალიზე გამოკვლეულ იქნა ცალ-ცალკე. მეზობელ შტრიხებს შორის მანძილი გავ-ზომეთ სპირალური მიკრომეტრით. როგორც ცნობილია, რიდბერგის მეთოდით შესწორებები განისაზღვრება განტოლებათა შემდეგი სისტემით:

$$\begin{aligned} \Delta_1 &= d - (x_1 - x_m) + \Delta_u, \\ \Delta_2 &= d - (x_2 - x_1) + \Delta_1, \\ &\dots \dots \dots \dots \dots, \\ \Delta_{n-1} &= d - (x_{n-1} - x_{n-2}) + \Delta_{n-2}. \end{aligned} \quad (10)$$

$$d = \frac{1}{n} \left[(x_1 - x_u) + \sum_{i=1}^{n-1} (x_i - x_{i-1}) + (x_N - x_{n-1}) \right] - \frac{1}{n} (\Delta_N - \Delta_u),$$

სადაც Δ_u და Δ_N გამოსაკვლევი ინტერვალის საყრდენი შტრიხების უკვე ცნობილი კოორდინატებია, d — შესაბარებელი მონაკვეთის სიგრძე, n — შტრიხების რიცხვი ინტერვალში.

ცდომილებები რიდბერგის მეთოდის გამოყენების დროსაც სწრაფად იზრდება განაპირადან შუა შტრიხებისავენ გადასვლისას. კ-ური შტრიხის შესწორების განსაზღვრის საშუალო კვადრატული ცდომილებისათვის გვაქვს ცორმული [5]:

$$\varepsilon_{\kappa}^2 = k \left(1 - \frac{k}{n} \right) \varepsilon_0^2 + \left(1 - \frac{k}{n} \right) \varepsilon_{\kappa,u}^2 + \frac{k}{n} \varepsilon_N^2. \quad (11)$$

არის მიღიმეტრიანი ინტერვალის გაზომვის ცდომილება. ის წარმოადგენს ორი ანათვლის სხვაობის ცდომილებას, მაგრამ ამ შემთხვევაში ერთი ანათვლის ცდომილება ორჯერ უფრო ნაკლებია ვიღრე დამხმარე მონაკვეთის გაზომვისას, რადგან იქ აღარ შედის დაყენების ცდომილება. ე. ი. $\varepsilon^2 = 2\varepsilon_1^2 = \varepsilon_0^2$.

(8) და (11) ფორმულები გვიჩვენებს, რომ ε_{κ}^2 მაქსიმუმს აღწევს მაშინ. როდესაც $k = \frac{n}{2}$ და გამოსაკვლევი ინტერვალი შემოფარგლულია მესამე და მეოთხე ეტაპის საყრდენი შტრიხებით, ე. ი.

$$\varepsilon_{max}^2 = \frac{n}{4n_5} - \varepsilon_0^2 + \frac{1}{4}(\varepsilon_{(3)}^2 + \varepsilon_{(4)}^2). \quad (12)$$

თუ გავითვალისწინებთ (9)-ტოლობებს და იმ გარემოებას, რომ $n = 14$ და $n_5 = 4$, მაშინ (12)-დან მივიღებთ:

$$\varepsilon_{max}^2 = 0.9 \varepsilon_0^2.$$

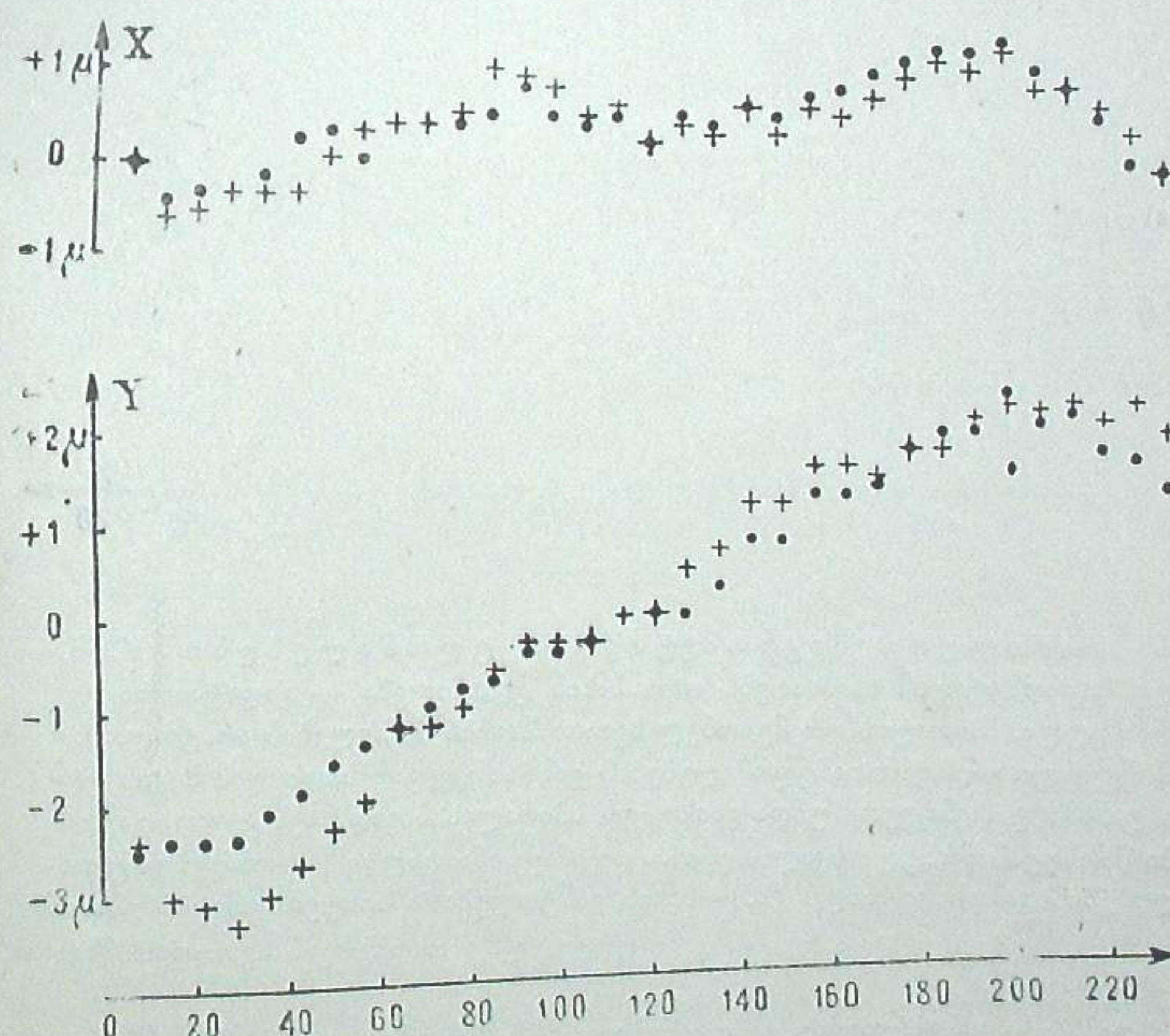
ამრიგად, გამოკვლევის გამოყენებული მეთოდიკა და განხორციელებული პროცერამა საშუალებას იძლევა განისაზღვროს სკალის შტრიხების შესწორების ისეთი სიზუსტით, რომლის ცდომილება ყველაზე უარეს შემთხვევაშიც კი არ აღემატება ერთი გაზომვის ცდომილებას.

გამოკვლევის საბოლოო შედეგები ცალკეული სკალებისათვის თავმოყრილია 1 ცხრილში. პირველ სეეტში მოცემულია შტრიხის ნომერი, მეორეში და შესამეში მათი შესწორებები 0,0001 მ ერთეულებში. ის ფაქტი, რომ Y -სკალის შესწორებები გამოხატულია დიდი რიცხვებით, გამოწვეულია მით, რომ Y -სკალის მასშტაბი მიყენანდია X -სკალის მასშტაბზე.

8. აბასთუმნის ასტროფიზ. ობსერვ. ბიულ., № 30

N	შესწორებები		განაკვეთი	შესწორებები		განაკვეთი	შესწორებები	
	x	y		x	y		x	y
8	0	-24	67	+6	-13	126	+	2
9	0	-24	68	+6	-14	127	+	2
10	+1	-25	69	+7	-14	128	+	4
11	0	-26	70	+6	-14	129	+	3
12	0	-27	71	+4	-11	130	+	4
13	-1	-27	72	+4	-10	131	+	5
14	-2	-27	73	+4	-12	132	+	4
15	-5	-27	74	+4	-10	133	+	6
16	-6	-29	75	+5	-9	134	+	5
17	-6	-30	76	+6	-10	135	+	6
18	-5	-30	77	+6	-9	136	+	6
19	-8	-29	78	+6	-10	137	+	6
20	-8	-29	79	+6	-10	138	+	6
21	-7	-30	80	+7	-12	139	+	6
22	-6	-31	81	+6	-11	140	+	7
23	-4	-32	82	+6	-11	141	+	10
24	-2	-31	83	+6	-10	142	+	12
25	-2	-31	84	+8	-7	143	+	10
26	-1	-31	85	+8	-7	144	+	11
27	-1	-31	86	+9	-7	145	+	10
28	-3	-31	87	+9	-7	146	+	10
29	-4	-33	88	+9	-5	147	+	10
30	-3	-33	89	+8	-5	148	+	10
31	-4	-34	90	+7	-5	149	+	10
32	-6	-34	91	+6	-5	150	+	6
33	-6	-35	92	+10	-4	151	+	10
34	-6	-34	93	+8	-3	152	+	6
35	-6	-34	94	+8	-3	153	+	8
36	-2	-30	95	+10	-4	154	+	8
37	-2	-26	96	+10	-3	155	+	14
38	-3	-28	97	+12	-4	156	+	15
39	-4	-26	98	+11	-4	157	+	15
40	-3	-25	99	+8	-4	158	+	15
41	-2	-24	100	+8	-4	159	+	12
42	-2	-24	101	+9	-4	160	+	14
43	0	-24	102	+8	-3	161	+	14
44	0	-22	103	+9	-2	162	+	8
45	+2	-21	104	+7	-2	163	+	9
46	+1	-20	105	+8	-2	164	+	6
47	+2	-20	106	+6	-3	165	+	8
48	0	-20	107	+6	-2	166	+	8
49	0	-21	108	+6	-2	167	+	8
50	+2	-20	109	+8	-2	168	+	11
51	+2	-18	110	+8	-2	169	+	9
52	+1	-20	111	+9	-2	170	+	8
53	+2	-21	112	+7	-2	171	+	8
54	+2	-20	113	+6	0	172	+	7
55	+1	-20	114	+4	0	173	+	9
56	+2	-18	115	+4	0	174	+	9
57	+2	-17	116	+4	2	175	+	11
58	+4	-16	117	+5	0	176	+	11
59	+2	-16	118	+5	0	177	+	12
60	+5	-16	119	+6	1	178	+	11
61	+4	-16	120	+3	0	179	+	11
62	+5	-15	121	+4	1	180	+	10
63	+6	-16	122	+4	0	181	+	10
64	+6	-12	123	+4	1	182	+	8
65	+6	-14	124	+4	1	183	+	12
66	+6	-12	125	+4	2	184	+	10

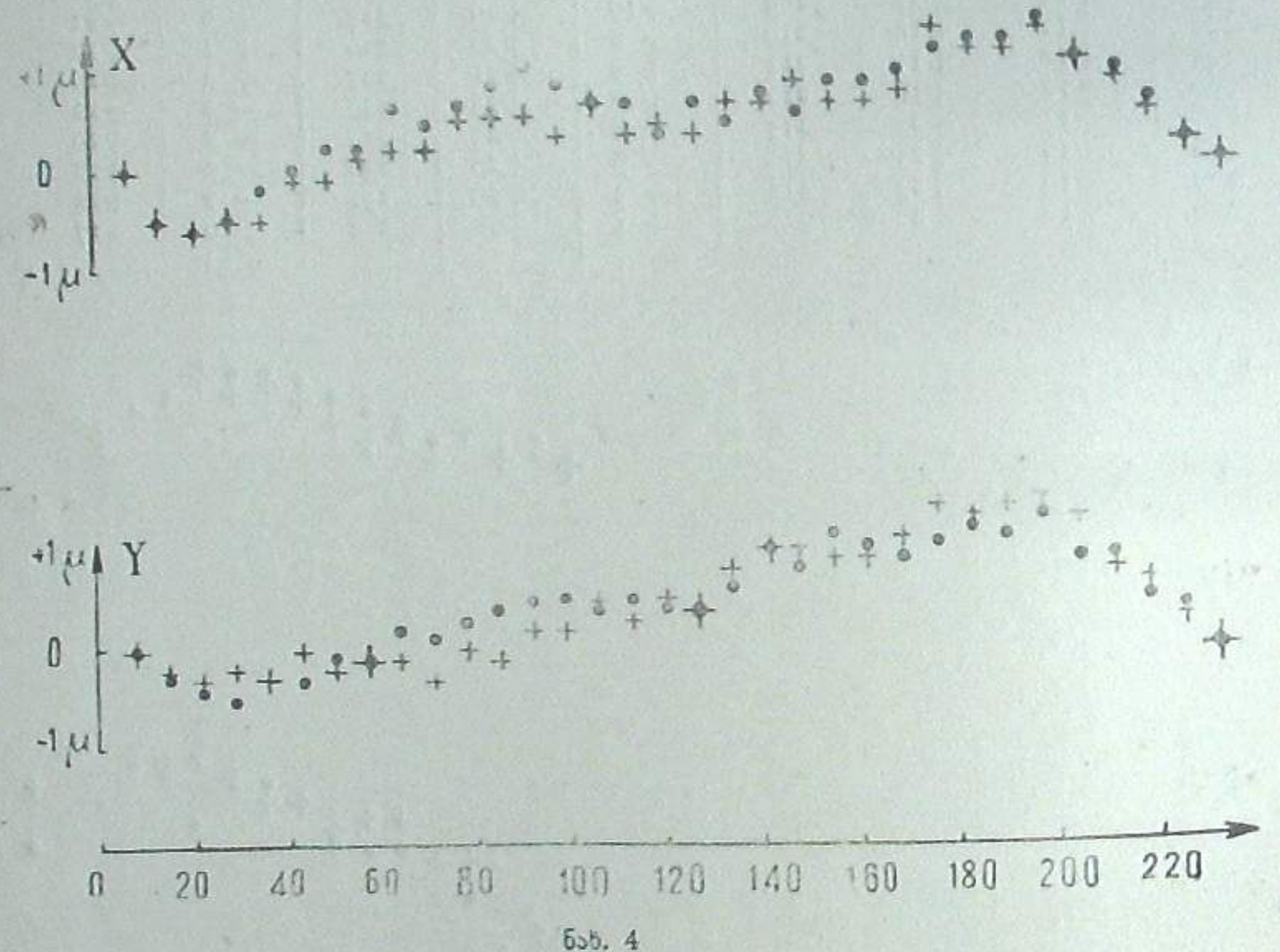
1-ის გაგრძელება ანაზღაული სკალარი	შესწორებები		ანაზღაული სკალარი	შესწორებები		ანაზღაული სკალარი	შესწორებები	
	x	y		x	y		x	y
185	+12	+18	201	+12	+26	217	+5	+28
186	+11	+18	202	+10	+27	218	+6	+20
187	+12	+18	203	+12	+27	219	+6	+18
188	+12	+19	204	+10	+21	220	+6	+18
189	+14	+19	205	+10	+21	221	+6	+19
190	+12	+20	206	+12	+22	222	+2	+21
191	+14	+17	207	+12	+20	223	+4	+22
192	+12	+17	208	+10	+20	224	+2	+22
193	+12	+15	209	+10	+20	225	+2	+21
194	+12	+16	210	+8	+20	226	1	+22
195	+12	+15	211	+9	+21	227	2	+20
196	+12	+16	212	+8	+25	228	2	+22
197	+14	+23	213	+8	+25	229	2	+20
198	+12	+25	214	+8	+26	230	2	+22
199	+16	+27	215	+5	+28	231	2	+22
200	+10	+28	216	+5	+28	232	0	+17



ပေါ် ၃

საყრდენი შტრიხებისათვის ცალკეული ავტორის მიერ მიღებული შესწო-
რებები გრაფიკული სახით წარმოდგენილია გე-3 ნახაზზე (გვრები აღნიშნავენ
გ. სალუქვაძის შედეგებს, წერტილები—ა. ხატისოვისას, გვრები წერტილებით—
ურთიერთდამთხვეულთ).

ურთიერთდაბოლვეულია. წარმოდგენილი ავტორების მიერ ვანსაზღვრული და გრაფიკული და აკრეთვე წარმოდგენილი ავტორების მიერ ვანსაზღვრული და სკალათა პასპორტებში მოცემული შესწორებული (ნახ. 4). აქ, რა თქმა უნდა, გათვალისწინებულია ნულ-პუნქტისა და მასშტაბებს შორის განსხვავება. (ნახ. 4-ზე ჩვრები იღნიშნავს ქარხნის მონაცემებს, წერტილები—ავტორთა შედეგებს, გვრები წერტილებით—განსაზღვრებს, რომელიც ურთიმეორეს დაემთხვა). როგორები წერტილებით—განსაზღვრებს, რომელიც ურთიმეორეს დაემთხვა). როგორები გრაფიკები გვიჩვენებს, შედეგები ორივე შემთხვევაში საჭარბე კიბები ეთანხმება ურთმანეთს.



ბ) სპირალური მიკრომეტრების ცდომილებები. სპირალურ მიკრომეტრებს ახასიათებს ორი სახის ცდომილება — გადატანითი და პერიოდული. სპირალის ორ მეზობელ ხვიათა შორის მანძილების არატოლობით გამოწვეული გადატანითი ცდომილებების გამოსარკვევად სპირალის ბიჯის ტოლი დამხმარე მონაკვეთი უნდა გაიზომოს სპირალის სხვადასხვა ხვიით. გაზომვები წარმოებს წრიული სკალის ერთსა და იმავე ინათვალზე (პერიოდული ცდომილებების გამოსარიცხად). (10)—სახის განტოლებათა სისტემა ამოიხსნება იმ პირობით, რომ $\Delta_1=0$ და $\Delta_{10}=0$ (გამოკვლევა აქაც რიცხვების შეთოდით წარმოებს).

დამხმარე ინტერვალიდ გამოყენებულ იქნა საზომი ლუპის მინის სკალა, რომლის ერთი დანაყოფის ფასი ტოლია 0,1 მმ. დამხმარე სკალის გადაადგილე-

ბა ურიკის მიმართ ხდებოდა სპეციალურად გაკეთებული მოწყობილობის დაწ-მარებით.

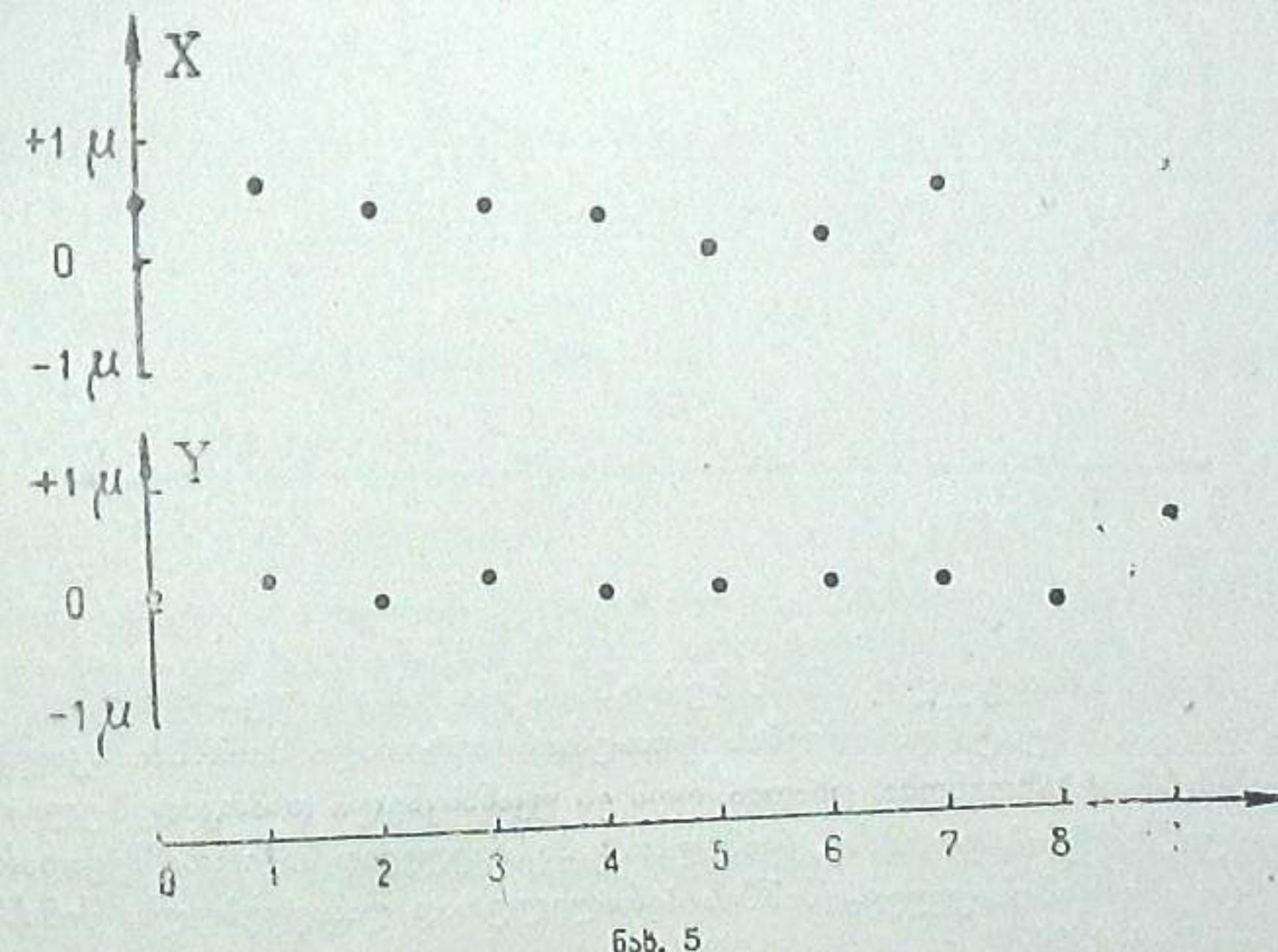
თითოეული მიკრომეტრისათვის ჩატარდა გაზომვათა ხუთ-ხუთი სერია. შეღები მოცემულია მე-2 ცხრილსა და მე-5 ნახაზზე.

კვლევი 2

სპირალური მიკროშეტრების გადატანითი ცდომილებები (0,0001 მმ-ზე)

ანათვალი სკა- ლაზე	X	Y	ანათვალი სკა- ლაზე	X	Y
0.0	0	0	0.5	+3	+1
0.1	+2	+1	0.6	+4	0
0.2	+2	+2	0.7	+2	-1
0.3	+3	+2	0.8	+1	-2
0.4	+3	+3	0.9	0	-2

პერიოდული ცდომილებები გამოწვეულია წრიული სკალის ცენტრისა და გრუნვის წერტილის არაიგივურობით. ისინი მეორდება სპირალის ყოველი შე-მობრუნების შემდეგ.



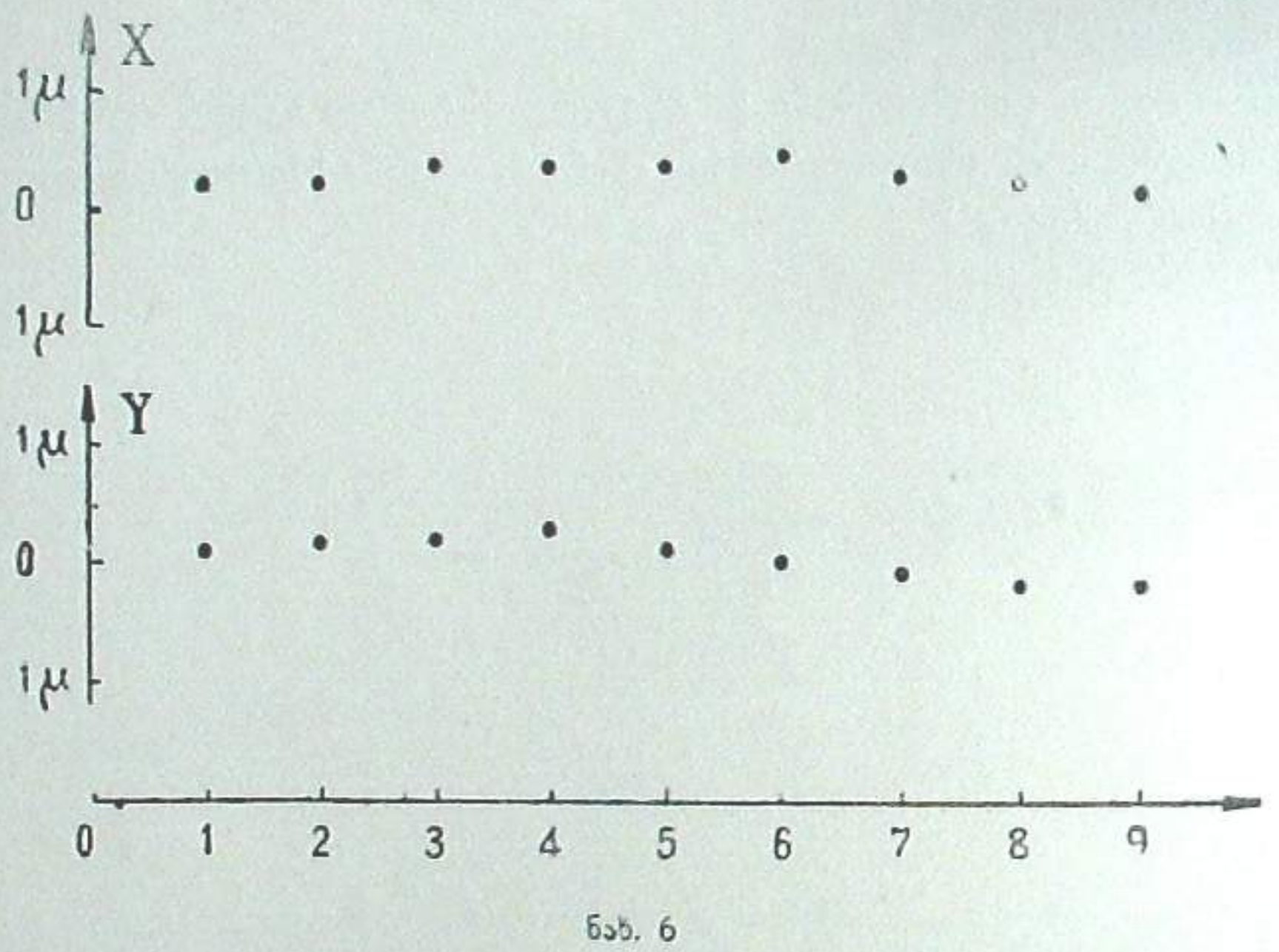
დამხმარე სკალაზე, რომლითაც ვსარგებლობდით გადატანითი ცდომილებების გამოსაკვლევად, ორ მეზობელ შტრიხს შორის გაჭიმულ იქნა ობობას ქსელის ძაფი, ისე, რომ მანძილი ობობას ქსელის ძაფსა და ერთერთ შტრიხს შორის ყოფილიყო სპირალის ერთი შემობრუნების 2/5-ის ტოლი, ე. ი. 0,04 მმ. ამ ინტერვალს ვზომავდით წრიული სკალის სხვადასხვა ნაწილით ორ-ორი შემობრუნების ფარგლებში.

სულ თითოეული მიკრომეტრისათვის ჩატარდა გაზომვათა ხუთ-
წუთი სერია. შედეგები მოცემულია მე-3 ცხრილსა და მე-6 ნახაზზე.

ცხრილი 3

სპირალური მიკრომეტრების პერიოდული ცდომილებები (0.0001 მმ-ში)					
შემობრუნების ნაწილები	X	Y	შემობრუნების ნაწილები	X	Y
0.0	+5	+1	0.5	0	0
0.1	+6	+2	0.6	+1	0
0.2	+4	0	0.7	+5	0
0.3	+4	+2	0.8	+3	-2
0.4	+3	0	0.9	+6	+5

როგორც მე-2 და მე-3 ცხრილებიდან ჩანს, სპირალური მიკრომეტრების გადატანითი და პერიოდული ცდომილებები იმდენად მცირეა, რომ შესაძლებელია მათი უგულებელყოფა ზუსტი ასტროფოტოგრაფიული გაზომვებითაც კი.



გ. 6 მიკრომეტრების სპირალური ცნობის გამოკვლევა. ზუსტი გაზომვების ერთ-ერთი ძირითადი პირობაა სკალების მოძრაობის სწორხაზოვნობა. ცხადია, რომ ეს უკანასკნელი დამოკიდებულია მიმმართველი შიმშების ფორმაზე, რომელთა გამოსაკვლევად საჭიროა შევაღიროვის ურიკაზე გამოსაკვლევი შიმშის პარალელურად დამაგრებულს, წინასწარ აღებულ სწორ ხაზს.

მიმმართველი შიმშების სწორხაზოვნობის გამოსაკვლევად და მათი პერიოდული შემოწმების მიზნით, ხელსაწყოს თან ახლავს სპეციალური მოწყობილობა. ის წარმოადგენს ჩარჩოს, რომელშიც გაჭიმულია ლითონის წვრილი მავთული (დიამეტრით 0,05 მმ). შესაძლებელია მისი შემობრუნება თავის ღერძის გარშემო 180°-ით.

შრომებში [2, 6, 7] აღნიშნულია, რომ ტემპერატურის ცვლილებისას მეტალური ძაფი ვერ ინარჩუნებს თავის ფორმას და ამასთანავე იგი საგრძნობლად განსხვავდება სწორი ხაზისგან. ამის გამო აღნიშნული მავთული წინასწარ შევ-

ცვალეთ ობობას ქსელის ძაფით. გაზომვები ხდებოდა ყოველი 10 მმ-ის დაცილებით, რის შემდეგ ძაფი ბრუნდებოდა 180°-ით და გაზომვები მეორდებოდა. გაზომვების ამ ორი რიგისაგან ხდება საშუალოს აღება, რაც იძლევა საშუალებას გამოირიცხოს ძაფის არასწორხაზოვნობა. გაზომვები ხდებოდა ერთსა და იმავე დღეს 1,5—2 საათის განმავლობაში. ძაფის თითოეულ მდებარეობაში ანათვალის აღება ხდებოდა 4-ჯერ. თითოეული მიმმართველი შიმშის ფორმის გამოსაკვლევად ჩატარებული იქნა გაზომვათა ექვს-ექვსი სერია.

მიმმართველი შიმშების სიმრუდეზე Δl შესწორებები, გამოითვლება შემდებნირად. ანათვალი X_1 , რომელიც უმუალოდ მიიღება X -ღერძზე მოცემულ ძაფ-სწორზე დაყენებისას, შეიცავს შესწორებებს, რომლებიც გამოწვეულია ძაფის Y -ღერძთან არაპარალელობით, მიმმართველი შიმშებისა და შესაღარებელი ძაფის სიმრუდით და გაზომვის შემთხვევითი ცდომილებებით, ე. ი.

$$X_1 = x_0 + ay + \Delta l + \Delta \pi, \quad (14)$$

სადაც Δl მიმმართველი შიმშების სიმრუდეზე შესწორებებია და $\Delta \pi$ კი შესწორებებია ძაფის სიმრუდეზე (ვგულისხმობთ, რომ გაზომვის შემთხვევითი ცდომილებები ნულის ტოლია).

180°-ით მობრუნების შემდეგ,

$$X_2 = X'_0 + a'y + \Delta l - \Delta \pi, \quad (15)$$

(14) და (15) გამოსახულებების შეკრების შედეგად გლებულობთ:

$$\Delta l = \frac{X_1 + X_2}{2} - \frac{X_0 + X'_0}{2} - \frac{a + a'}{2} Y$$

ანუ

$$\Delta l = X_{\text{სა}} - (a + bY). \quad (16)$$

ამოცხსნით რა განტოლებათა სისტემას

$$X_{\text{სა}} = a + bY.$$

უმცირეს კვადრატთა ხერხით, ეპონით a და b ქოეფიციენტებს, შემდეგ კი

(16) ტოლობიდან მიმმართველი შიმშის სიმრუდეზე შესწორებებს.

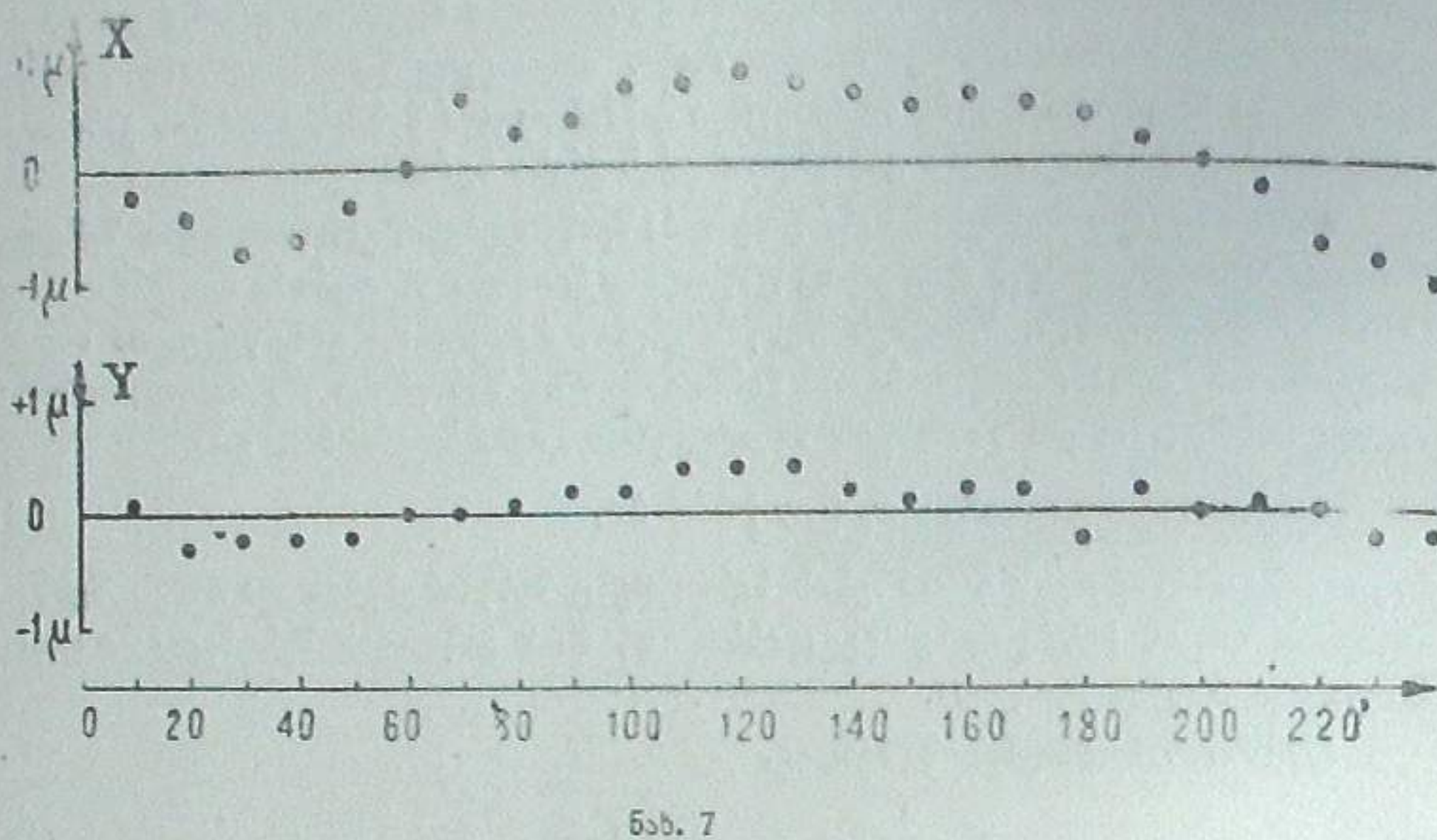
გამოკვლევის შედეგები მოცემულია მე-4 ცხრილსა და მე-7 ნახაზზე.

ცხრილი 4

მიმმართველი შიმშების სიმრუდეზე შესწორებები (0.0001 მმ ერთეულებში)								
ანათვალი სკალაზე	X	Y	ანათვალი სკალაზე	X	Y	ანათვალი სკალაზე	X	Y
10	-2	+1	90	+4	+2	170	+5	+2
20	-4	-2	100	+7	+2	180	+4	-2
30	-7	-2	110	+7	+4	190	+2	+2
40	-6	-2	120	+8	+4	200	0	0
50	-3	-2	130	+7	+4	210	-2	+1
60	0	0	140	+6	+2	220	-7	0
70	+6	0	150	+5	+1	230	-8	-2
80	+3	+1	160	+6	+2	240	-10	-2

როგორც ცხრილიდან ჩანს, შესწორებები ერთ მიკრონს არ იღებატება.

დ) გიგართველი შიმშების არამართობულობა. ა. კენიგმა (A. König) უჩვენა, რომ თუ გასაზობი ობიექტის ზუსტ კოორდინატებს აღვ-



ნიშნავთ X და Y -ით, გაზომილებს კი x და y -ით, მაშინ საკმაოდ დიდი სიზუსტით [1]:

$$\left. \begin{array}{l} X = x - kx, \\ Y = y - ix, \end{array} \right\} \quad (17)$$

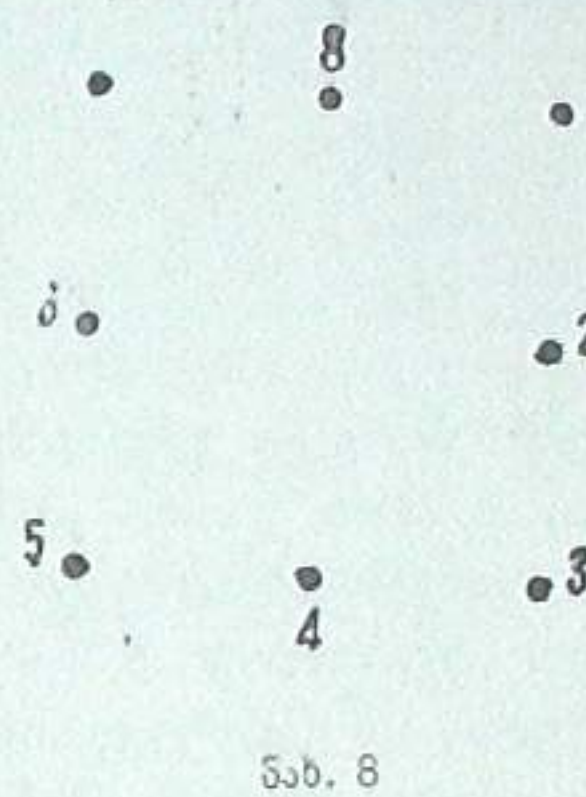
სადაც ჩ არის სკალათა მასშტაბებს შორის სხვაობა, ხოლო კ რადიანებში გამოსახული კუთხე ა-ღერძის პერპენდიკულარსა და რეალურ ყ-ღერძს შორის. ჩ და კ-ს საპოვნელად უმცირეს ქვადრატთა ხერხით უნდა ამოიხსნას პირობით განტოლებათა შემდეგი სისტემები:

$$x_0f + gx_{90} + p = x_0 - y_{90},$$

სადაც x_0, y_0 და x_{90}, y_{90} არის გასაზომი წერტილის კოორდინატები ფირფიტის ორი ერთიმეორისაგან $90^\circ + \varepsilon$ კუთხით განსხვავებულ მდებარეობაში. უცნობი კოეფიციენტები f, g, h, p, q საძებნ სიდიდეებთან დაკავშირებულია შემდეგი ტოლობებით:

$$\left. \begin{array}{l} i = \frac{1}{2}(h-g), \\ k = f + \frac{1}{2}\varepsilon^2 \quad p = u + \frac{1}{2}u\varepsilon^2 \\ \varepsilon = -\frac{1}{2}(h+g) \quad q = v + u\varepsilon. \end{array} \right\} \quad (20)$$

გასაზომ წერტილებად აღებულ იქნა 20×20 ზომის მინაზე დატანილი 5 მმ
ზღვას 8 გადაკვეთის წერტილი, რომლებიც განლაგებულია 150×150 მმ კვადრა-
ტის გვერდებზე ცენტრის სიმეტრიულად (ნახ. 8). ყველა 8 წერტილი გაზომილი
იქნა 4-ს, ერთმანეთისაგან 90° -ით განსხვავებულ მდებარეობაში. შემდეგ 180° -
ით განსხვავებული ანათვლების საშუალო მრღვებულ იქნა ერთ მდებარეობად.



(18) და (19) განტოლებათა სისტემების ამონსნისა და (20) ტოლობების დახმარებით მივიღებთ:

$$\begin{aligned}i &= 2.566 \cdot 10^{-5} \text{ rad.} = 5'.29 \\k_1 &= 9.11 \cdot 10^{-6}, \\k_2 &= 4.67 \cdot 10^{-6}, \\z &= 1.033 \cdot 10^{-5} \text{ rad.} = 2''.13\end{aligned}$$

ამრიგად აღმოჩნდა, რომ მიმმართველი შიმშები საკმაოდ მაღალი სიზუსტითაა ურთიერთმართობული. k_1 და k_2 -სათვის მიღებული მნიშვნელობები კი გვიჩვენებს, რომ სკალების ვამოკვლევით მიღებული შესწორებების შეტანას განმილ კოორდინატებში ძალიან კარგად მიყავს სკალები ერთ საერთო მასშტაბზე.

ე) ურიკის გადაფერდება. ურიკის გადაფერდება გამოწვეულია პარალელოგრამთა შემქმნელი ღეროების უტოლობითა და არაპარალელურობით. ფირფიტა ურიკასთან ერთად გადატანითად მხოლოდ იმ შემთხვევაში გადაადგილდება, თუ აღნიშნული ღეროები წყვილ-წყვილ ტოლი და ზუსტად პარალელდება, თუ ეს პირობა არ იქნება შესრულებული, მაშინ ფირფიტას გალური იქნება. თუ ეს პირობა არ იქნება შესრულებული, მოძრაობაც ექნება.

თუ არსებობს ურიკის გადაფერდება, მაშინ მიმმართველი შიმშების ცდო-
მილებები სხვადასხვა იქნება დამხმარე ძალის სხვადასხვა მდებარეობაში გა-

ზომვისას. ამასთანავე i -ს მნიშვნელობა დამოკიდებული უნდა იყოს გაზომილა წერტილების განლაგებაზე.

[2]-ში მიმმართველი შიმშების მართობულობის გამოსაკვლევად გამოყენებულია ორი, დაახლოებით ურთიერთპერპენდიკულარული მონაკვეთის ბოლოებზე მდებარე 4 წერტილი, რომლებიც იზომება ორ ერთმანეთისაგან 90° -ით განსხვავებულ მდებარეობაში. ამ შემთხვევაში

$$i = \frac{1}{2} (\varphi_1 - \psi_1 + \varphi_2 - \psi_2) \quad (21)$$

$$\begin{aligned} \operatorname{tg} \varphi_1 &= \frac{y_{31} - y_{11}}{x_{31} - x_{11}}, & \operatorname{tg} \psi &= \frac{x_{41} - x_{21}}{y_{41} - y_{21}}, \\ \operatorname{tg} \varphi_2 &= \frac{y_{22} - y_{42}}{x_{22} - x_{42}}, & \operatorname{lg} \psi &= \frac{x_{32} - x_{12}}{y_{32} - y_{12}}, \end{aligned} \quad (22)$$

სადაც x და y -ის ნიშნაკებილიან პირველი უჩვენებს წერტილის ნომერს მეორე-ფირფიტის მდებარეობას, φ_1 არის კუთხე 1,3 წერტილების შემაერთებელ სწორსა და X -ლერს შორის ფირფიტის პირველ მდებარეობაში, ψ_1 კუთხე 2,4 წერტილების შემაერთებელ სწორსა და Y -ლერს შორის კუთხე ფირფიტის ამავე მდებარეობაში. φ_2 -კუთხე 1,3 წერტილების შემაერთებელ სწორსა და x -ლერს შორის ფირფიტის მეორე მდებარეობაში, ψ_2 -კუთხე 4,2 წყვილის შემაერთებელ სწორსა და y -ლერს შორის ფირფიტის მეორე მდებარეობაში.

გამოკვლევისათვის გამოყენებულ იქნა წინა პარაგრაფისათვის მიღებული გაზომვები. კუთხე i განსაზღვრულ იქნა წერტილების 9 სხვადასხვა კომბინაციით. შედეგები მოცემულია მე-5 ცხრილში.

ცხრილი 5			
	წერტილების განლაგება (ნახ. 8)	i	$i - i'$
1	4-8; 6-2	+ 2°27	- 0°74
2	5-2; 6-2	- 0°34	- 3°35
3	4-8; 7-1	+ 7°98	+ 4°97
4	3-1; 6-2	- 0°80	- 3°081
5	4-8; 5-3	- 3°00	- 6°01
6	5-7; 7-1	+ 6°18	+ 3°17
7	3-1; 7-1	+ 15°60	+ 12°59
8	3-1; 5-3	+ 3°99	+ 0°98
9	5-7; 5-3	- 4°79	- 7°80
		$+ 3'' .01$	

როგორც ცხრილის მონაცემებიდან ჩანს, i -ს მნიშვნელობების გაბნევა ამ აღწევს იმ სიღიდეებს, რომლებიც შეესაბამება ღეროების სიგრძეებს შორის 0,1 მმ განსხვავებას, ე. ი. გამოსაკვლევი ხელსაწყოს პარალელოგრამების შემნელი ღეროების სიგრძეებს შორის განსხვავება, თუ ის არსებობს, არ აღწევს 0,1 მმ-ს.

როგორც ვხედავთ, კუთხე i განსაზღვრულ იქნა ორი სხვადასხვა მეოდიდ. მიღებული მნიშვნელობები საჭმაოდ კარგად ემთხვევა ერთმანეთს. საბოლოოდ შეგვიძლია ჩავთვალოთ, რომ

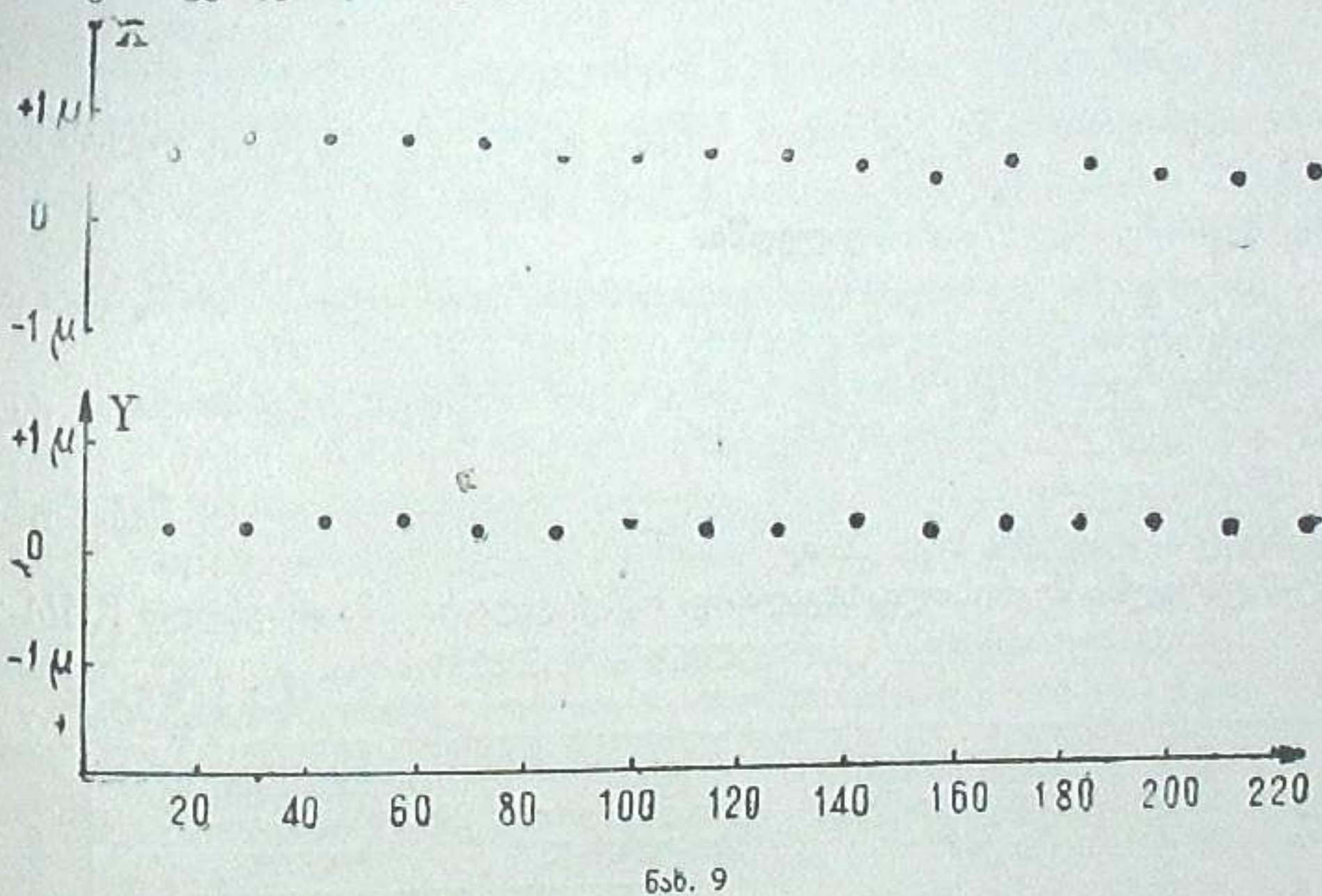
$$i = 4' .2.$$

ვ) ჩენი მთელი სკალის გასწვრივ. ჩენის ცდომილების გამოსაკვლევად ვისარგებლეთ თითოეული სკალის 16 ინტერვალის საშუალებით შტრიხების გაზომვებით. ჩენის მნიშვნელობა ცალკეული ინტერვალებისათვის მოცემულია მე-6 ცხრილში.

ცხრილი 6
შესწორებები ჩენზე სპირალის ერთი შემობრუნებისათვის $0,01\mu$ ერთეულებში

ინტერვალი	x	y	ინტერვალი	x	y
8—22	+6	+2	120—134	+8	+2
22—36	+8	+2	134—148	+7	+3
36—50	+8	+3	148—162	+6	+2
50—64	+8	+3	162—176	+8	+3
64—78	+8	+2	176—190	+8	+3
78—92	+7	+3	1902—204	+8	+3
92—106	+7	+2	204—218	+7	+2
106—120	+8	+2	218—232	+8	+2

ჩენის ცვალებადობა სკალების გასწვრივ მოცემულია მე-9 ნახაზზე.

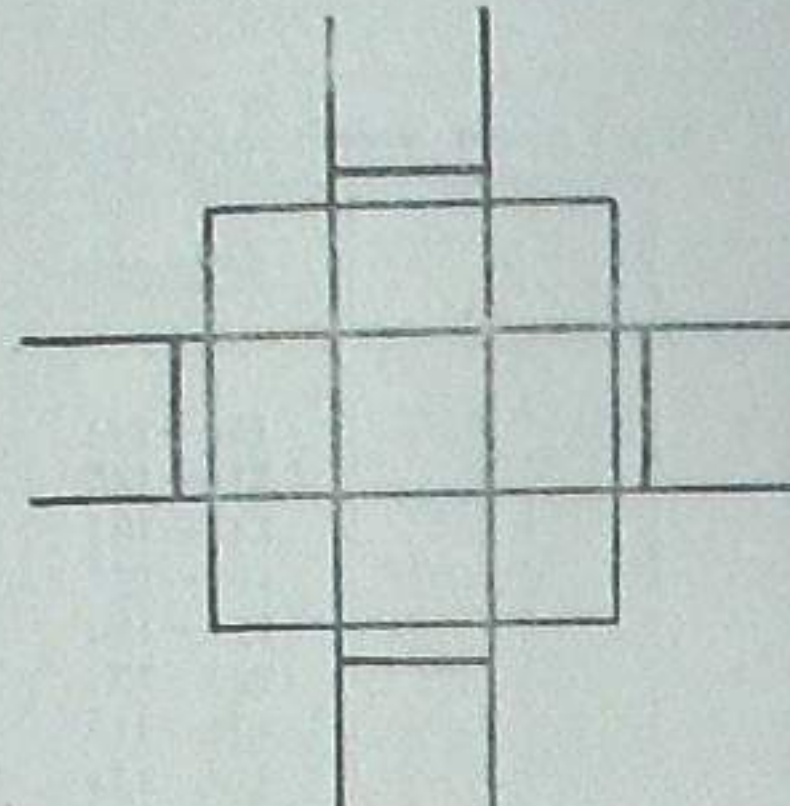


8) საზომი ბადის კვადრატთა ცენტრების არათანაზომი ბადე წარმოადგენს კვადრატს დამატებითი ხაზებით (ნახ. 10).

გასაზომი ობიექტი, სიღიდის მიხედვით, თავსდება მცირე—ცენტრალური ან დიდი კვადრატის შუაში. ამიტომ სხვადასხვა სიღიდის ობიექტების გაზომილ კორდინატებს შორის სისტემატური განსხვავება რომ არ იყოს, საჭიროა აღნიშნულ კვადრატთა ცენტრები ერთმანეთს ემთხვეოდეს. ამ გარემოების გამოკვლევამ დაგვანახა, რომ მცირე კვადრატის ცენტრი დიდი კვადრატის ცენტრის მიმართ გადაადგილებულია $0,8 \mu$ -ით, ამიტომ სხვადასხვა სიკაშკაშის

გამოკვლევამ დაგვანახა, რომ მცირე კვადრატის ცენტრი დიდი კვადრატის ცენტრის მიმართ გადაადგილებულია $0,8 \mu$ -ით, ამიტომ სხვადასხვა სიკაშკაშის

ვარსკვლავების გაზომვისას საჭიროა ფირფიტის ორ ერთმანეთისაგან 180° -ით განსხვავებულ მდებარეობაში გაზომვა. (რევერსიული პრიზმით მობრუნება არ არის საკმარისი).



ნახ. 10

§ 4. დასკვნა. შესრულებული გამოკვლევის შედეგები გვიჩვენებს, (ისინი თავმოყრილია მე-7 ცხრილის პირველ სტრიქონში), რომ ხელსაწყოს სკალებზე შტრიხების დატანის ცდომილება არ აღემატება 1.5μ -ს და, როგორც წესი, მდებარეობს 1.0μ -ის შეალედში.

სპირალური მიკრომეტრების გადატანითი ცდომილებები არ აღემატება $\pm 0.4 \mu$ -ს, პერიოდული კი — $\pm 0.6 \mu$ -ს.

რენის ცდომილება სპირალის ერთ შემობრუნებაზე X -ღერძისათვის ტოლია $+0.08 \mu$, Y -სათვის კი $+0.02 \mu$.

მიმმართველი შიმშები დამზადებულია მაღალხარისხოვნად; მაქსიმური ცდომილება შეადგენს 1.0μ X -სკალისათვის, Y -სკალისათვის — 0.4μ .

მე-7 ცხრილში შეკრებილია სხვადასხვა მაღალხარისხის არსებული კიმ-3 ტიპის საზომი ხელსაწყოების გამოკვლევათა შედეგები.

ნახ. 7	სკალების მდებარეობა ცხრილში	სპირალური მიკრო- მეტრების შესწორე- ბები	რენის სპირალის ერთ შემობრუნებაზე		მიმმართველი შიმშების სწორ- ხაზოვნება		i	ნივთიერების მდებარეობა	
			გადატა- ნითი	პერი- ოდული	x	y			
550001	1.5	0.4	0.6	0.08	0.02	1.0	0.4	4.20	[2]
?	2.0	0.8	0.8	0.06	0.01	3.8	4.7	4.31	[3]
520001	1.0	—	0.4	—	—	1.2	0.5	—	[8]
530001	1.6	0.0	0.2	—	—	0.0	2.6	0.65	[6]
550002	1.7	1.9	0.9	0.02	0.25	0.8	1.0	22.8	[7]
510002	0.8	0.4	0.3	0.20	0.03	3.8	2.3	—	

ამრიგად, შეგვიძლია დაგასკვნათ, რომ კიმ-3-ის ჩვენ მიერ გამოკვლეული ეგზემპლარი (№ 550001) წარმოადგენს ერთობ მაღალხარისხოვნად დამზადე-

ბულსა და ზუსტ კოორდინატთ-საზომ ხელსაწყოს, რომელიც შეიძლება გამოყენებულ იქნეს პრეციზიული ასტრომეტრის მიზნებისათვის გაზომვების შესასრულებლად.

დეკტერი, 1962.

ИССЛЕДОВАНИЕ КООРДИНАТНО-ИЗМЕРИТЕЛЬНОЙ МАШИНЫ КИМ-3

Г. Н. САЛУКВАДЗЕ и А. Ш. ХАТИСОВ

(Резюме)

В статье приводятся результаты исследования координатно-измерительной машины КИМ-3 № 550001, установленной в Абастуманской астрофизической обсерватории.

Были исследованы все основные ошибки указанного прибора:

- а) Ошибки штрихов шкал,
- б) Периодические и поступательные ошибки спиральных микрометров,
- в) Непрямолинейность направляющих линеек,
- г) Неперпендикулярность направляющих линеек,
- д) Перекос платформы,
- е) Рэн,
- ж) Несовпадение центров измерительных квадратов.

Исследование выполнено «в две руки» — обоими авторами, независимо друг от друга. Окончательный же результат является средним из двух.

Исследование проведено по методу, изложенному в работе Х. И. Поттера и О. Н. Чудовичевой [3]. Этот метод представляется наиболее рациональным при исследовании таких длинных шкал, какые имеются при КИМ-3, (длина каждой шкалы 240 мм).

Ошибки нанесения штрихов на измерительных шкалах лежат, как правило, в пределах одного микрона и в редких случаях достигают 1.5μ (таблица 1).

Поступательные ошибки спиральных микрометров не превосходят 0.4μ (таблица 2, рис. 5), а периодические — 0.6 микрона (таблица 3, рис. 6).

Рэн на один оборот спирали для шкалы X составляет $+0.08 \mu$, для шкалы Y — -0.02μ (таблица 6, рис. 9).

Направляющие линейки прибора изготовлены с большой точностью. Поправки направляющей параллельной оси X не превосходят 10μ , а поправки за кривизну направляющей параллельной оси Y , меньше 0.5 микрона (таблица 4, рис. 7).

Направляющие линейки перпендикулярны с большой точностью ($i = 4'' \cdot 20$).

Результаты проведенного исследования подтверждают, что прибор КИМ-3 является весьма точным прибором и им можно успешно пользоваться при точных астрофотографических измерениях.

AN INVESTIGATION OF THE MEASURING MACHINE КИМ-3

G. N. SALUKVADZE and A. Sh. KHATISOV

ԶԱՅԹՎԱՅԹՈՅ ՀՈՅԹՈՒՅՆՈՅ ՄԱԿԱՐԱՅԹԻՈՅ ՑՈՅՓՅՅՅՈ ԽՈՅՆԻՆԻԾՈՒՅ

1. Копиг А. Über einen Zeissischen Koordinatenmeßapparat. AN, 1932, 246, 5893
237—252.
2. Бугославская Е. Я. Измерительный прибор КИМ-3. Труды Гос. астрон. инст.
им. Штернберга. 1961, 30, 164—180.
3. Поттер Х. И., Чудовичева О. Н. Исследование координатно-измерительной
машины КИМ-3. Изв. Гл. Астрон. (Пулковской) обс. АН СССР. 1957, 20,
№ 157, 121—132.
4. Блажко С. Н. Курс практической астрономии. 1951, М.—Л..
5. Зверев М. С. Фундаментальная астрометрия. Успехи астрон. наук. 1954, 6, 3—
143.
6. Канаев И. И. Вань Лай. Результаты исследования прибора КИМ-3 № 550002.
Изв. Гл. астрон. (Пулковской) обс. 1960, 22, 166, 180—183.
7. Середа Е. М. Результаты исследования координатно-измерительной машины
КИМ-3. Изв. Гл. астрон. обс. АН УССР. 1962, 4, 2, 16—23.
8. Артюхина Н. М., Каримова Д. К. Исследование измерительного прибора
КИМ-3. Сообщ. Гос. астрон. инст. им. Штернберга: 1961, № 104, 21—38.

ԱՅԱՍՏՈՅԱՅ ԱՅԹՎՈՒՅՆՈՅ ՄԱԿԱՐԱՅԹԻՈՅ ՑՈՅՓՅՅՅՈ ԽՈՅՆԻՆԻԾՈՒՅ
БЮЛЕТЕНЬ АБАСТУМАНСКОЙ АСТРОФИЗИЧЕСКОЙ ОБСЕРВАТОРИИ № 30, 1964

ИССЛЕДОВАНИЕ ЩЕЛЕЙ СОЛНЕЧНОГО ИНФРАКРАСНОГО
СПЕКТРОФОТОМЕТРА И ВНЕЗАТМЕННОГО ԿՈՐՈՆՈԳՐԱՓ

Э. И. ТЕТРУАШВИЛИ и Д. С. ХЕЦУРИАНИ

Целью нашей работы было исследование щелей инфракрасного спектрофотометра Абастуманской обсерватории [1] и внезатменного коронографа, собираемого в обсерватории. Щели коронографа изготовлены в механической мастерской Пулковской обсерватории Д. С. Установым (описание подобных щелей дано в работе [2]).

Исследование состояло из следующих этапов.

1. Определение нуль-пунктов шкалы головок щелей.
2. Проверка соотношения между отсчетами по шкале и шириной раскрытия щелей.
3. Определение клиновидности щелей.
4. Определение качества рабочих краев щек.
5. Исследование радиусов и положений центров кривизны щек кривой щели.

Для решения четырех из перечисленных задач мы пользовались дифракционным методом Ю. Н. Липского [3, 4], а пятая в основном выполнена на универсальном измерительном микроскопе (УИМ-21).

Метод Липского основан на наблюдении дифракционной картины, получаемой от исследуемой щели. Согласно теории дифракции разность фаз φ для лучей, идущих от разных щек щели, выражается формулой:

$$\varphi = \frac{\pi}{\lambda} d \sin \alpha,$$

где λ —длина волны падающего света, d —ширина щели, α —угловое расстояние точек дифракционной картины от центра. Минимумам яркости соответствуют:

$$\varphi = \pi, 2\pi, 3\pi, \dots$$

а максимумам —

$$\varphi = 0, 1.43\pi, 2.46\pi, 3.47\pi, \dots$$

Зная расстояние щели от фотопластинки, на которой фотографируется дифракционная картина, и измерив расстояние между максимумами или минимумами, можно получить значение α и определить из

вышеприведенной формулы ширину щели: $d = \frac{\lambda}{\sin \alpha}$ для первого минимум-